

30) 阿多・池田カルデラ

第30-2表 (1) 活動履歴帳票 (阿多・池田カルデラ)

| 30. 阿多・池田カルデラ | | 噴火史の概略 | | 主要参考文献 川辺・坂口 (2005), Nagaoka (1988) | | データベース (DB) 等による年代・体積 | | 【年代】 1.1Ma~現在 (AD885) 【体積】 330km ³ | | 引用DB 日本の火山 (http://gbank.gsj.jp/volcano/) | | 【年代】 西来ほか編 (2014), 中野ほか編 (2013) | | 【体積】 第四紀火山カタログ委員会編 (1999) | | |
|------------------------|--|---|---|--|--|---|---|--|---|---|------------------|---------------------------------|-------------|---------------------------|---|---|
| 活動期 | 細分・別称 | 噴出物 | マグマ種類 | 噴火様式 | 年代 | 根拠 | 引用信頼度 | 体積注) 注) (km ³) | 根拠 | 引用 | 信頼度 | 根拠 | 引用 | 信頼度 | | |
| 阿多・池田カルデラ | 開聞岳火山 | 885年溶岩流・溶岩ドーム、Km12b (1-10) | 安山岩 | 溶岩流、溶岩ドーム、降下火砕物 | AD885 | 引用 (古文書解析) | *2 | ◎ 0.129 ◎ 0.007 ◎ 0.05 | 早川法 (テフラ) 根拠未記載 (溶岩) GIS算出体積 (Km12b) | *10 | ○ | *10 | △ | *14 | ○ | |
| | | 885年スコリア丘 | — | 降下スコリア | AD885 | 層序 | *1 | ● 不明 | — | — | — | — | — | — | — | |
| | | 885年火砕流堆積物 | — | 火砕流 | AD885 | 層序 | *1 | ● 不明 | — | — | — | — | — | — | — | |
| | | 田ノ崎溶岩 | 玄武岩 | 溶岩流 | AD885 | 層序 | *1 | ● 不明 | — | — | — | — | — | — | — | |
| | | 874年火砕流・土石流堆積物 Km12a (1-4) | — | 降下火砕物、火砕流、土石流 | AD874 (1310±40yBP*) | 古文書解析 引用 (古文書解析) | *1 *2 | ◎ 0.109 ◎ 0.16 | 早川法 (テフラ) GIS算出体積 (Km12a) | *10 *14 | ○ ○ | *10 *14 | ○ ○ | — | — | — |
| | | 開聞岳主山体 | — | 成層火山体 | AD874までに形成 | 層序 | *1 | ▲ 不明 | — | — | — | — | — | — | — | — |
| | | Km11 (a, b, c: 1-2), 横溝溶岩 横溝火砕丘噴出物 (Km11C2の給源) | 玄武岩 | 降下火砕物 (一部溶結), 溶岩流 | 1580±40yBP 7世紀 1697-1643, 1639-1528, 1728-1549cal yBP 1.5ka | 14C年代 引用 (古文書解析) 14C年代 堆積速度の内挿 | *1 *2 *9 *10 | ◎ 0.1 ◎ 0.02 ◎ 0.05 | 早川法 (テフラ) GIS算出体積 (Km11c2) GIS算出体積 (Km11ab) | *10 *14 *14 | ○ ○ ○ | *10 *14 *14 | ○ ○ ○ | — | — | — |
| | | 十町溶岩 | 玄武岩 | 溶岩流 | 1.5ka | 層序 (Km11と同時期) | *1 | ▲ 不明 | — | — | — | — | — | — | — | — |
| | | 開聞岳南溶岩 | 玄武岩 | 溶岩流 | 1.5ka | 層序 (Km11と同時期) | *1 | ▲ 不明 | — | — | — | — | — | — | — | — |
| | | Km10 | — | 降下火砕物 | 1.7cal ka 1.8ka | 時間間隔を均等分配 堆積速度の内挿 | *2 *10 | ▲ 0.02 | 早川法 | *10 | ○ | — | — | — | — | — |
| | | 大湯溶岩 | — | 溶岩流 | 1.9cal ka | 不明 (Km10に覆られる) | *9 | ▲ 不明 | — | — | — | — | — | — | — | — |
| | | Km9 (a: 1-3, b, c: 1-3) | — | 降下火砕物 | 1.9cal ka 2.0ka | 引用 (14C年代) 堆積速度の内挿 | *2 *10 | ▲ 0.368 ▲ 0.09 ▲ 0.06 ▲ 0.08 | 早川法 GIS算出体積 (Km9c) GIS算出体積 (Km9b) GIS算出体積 (Km9a) | *10 *14 *14 *14 | ○ ○ ○ ○ | — | — | — | — | |
| | | 花瀬溶岩 | 玄武岩 | 溶岩流 | 2.1ka | 層序 (Km8a噴火直後) | *1 | ▲ 0.01 | 根拠未記載 | *10 | △ | — | — | — | — | — |
| | | Km8 (a, b) | — | 降下火砕物 | 2.0cal ka 2.1ka | 均等分配 堆積速度の内挿 | *2 *10 | ▲ 0.102 ▲ 0.04 | 早川法 GIS算出体積 (Km8b) | *10 *14 | ○ ○ | — | — | — | — | — |
| | | Km7 (a: 1-3, b: 1) | — | 降下火砕物 | 2310±40yBP 2.3cal ka 2.3ka | 14C年代 均等分配 堆積速度の内挿 | *1 *2 *10 | ◎ 0.097 ▲ 0.031 ▲ 0.13 | 早川法 GIS算出体積 | *10 *14 | ○ ○ | — | — | — | — | |
| | | 松原田溶岩 | 玄武岩 | 溶岩流 | 2.3ka | 直上にKm7a3 | *1 | ▲ 0.015 | 根拠未記載 | *10 | ○ | — | — | — | — | — |
| | | Km6 (1-8) (川尻溶岩流?) | — | 降下火砕物 (溶岩流?) | 2.5cal ka 2.5ka | 均等分配 堆積速度の内挿 | *2 *10 | ▲ 0.039 ▲ 0.02 | 早川法 GIS算出体積 (Km6) | *10 *14 | ○ ○ | — | — | — | — | — |
| | | Km5 | — | 降下火砕物 | 3.0cal ka 2.9ka | 均等分配 堆積速度の内挿 | *2 *10 | ▲ 0.004 | 早川法 | *10 | ○ | — | — | — | — | — |
| | | 溶岩流 | — | 溶岩流 | Km5と対比 | 地形から仮定 | *10 | ▲ 0.65 | 根拠未記載 | *10 | ○ | — | — | — | — | — |
| | | Km4 (1-5) | — | 降下火砕物 | 3590±100yBP 3130±40yBP 3.4cal ka 3.2ka | 引用 (14C年代) 14C年代 均等分配 堆積速度の内挿 | *1 *1 *2 *10 | ◎ 0.128 ▲ 0.07 | 早川法 GIS算出体積 | *10 *14 | ○ ○ | — | — | — | — | |
| | | 川尻凝灰角礫岩 | — | 凝灰角礫岩、火山凝灰岩 | 不明 (Km4に対比*) | — | — | 不明 | — | — | — | — | — | — | — | — |
| | | Km3 | — | 降下火山灰 | 3.7cal ka 3.4ka | 均等分配 堆積速度の内挿 | *2 *10 | ▲ 0.002 | 早川法 | *10 | ○ | — | — | — | — | — |
| | | Km2 | — | 降下スコリア | 3.9cal ka 3.6ka | 均等分配 堆積速度の内挿 | *2 *10 | ▲ 0.002 | 早川法 | *10 | ○ | — | — | — | — | — |
| | | Km1 (1-4) | — | マグマ水蒸気爆発: 降下火砕物 | 4040±120yBP 3620±140yBP 3740±50yBP 4.4cal ka 4ka | 引用 (14C年代) 引用 (14C年代) 引用 (14C年代) 引用 (14C年代) 引用 (14C年代) | *1 *1 *1 *2 *10 | ◎ 0.274 ◎ 0.14 | 早川法 GIS算出体積 | *10 *14 | ○ ○ | — | — | — | — | |
| | | 溶岩流 | — | 溶岩流 | Km1と対比 | 地形から仮定 | *10 | ▲ 0.139 | 根拠未記載 | *10 | ○ | — | — | — | — | — |
| 阿多・池田カルデラ | 新期 指宿火山群 (池田火山) | 池田湖湖底溶岩ドーム | デイサイト? | 溶岩ドーム | 不明 | — | 不明 | — | — | — | — | — | — | — | | |
| | | 鍋島岳溶岩ドーム (I-III), 鍋島岳テフラ群 (1-4) | デイサイト | 溶岩ドーム、降下火砕物 | 4.3ka 4.8cal ka 4220±160yBP 4380±140yBP 4330±100 4.6±0.6, 4.3±0.2ka 4.2±0.4, 4.3±0.3ka TL年代 | 引用 (14C年代) 引用 (14C年代) 14C年代 14C年代 14C年代 TL年代 TL年代 | *1 *2 *4 *4 *6 *6 *6 | ◎ 0.08 ◎ 0.05 ◎ 0.05 ◎ 0.05 ◎ 0.05 ◎ 0.05 ◎ 0.05 | 早川法 (テフラ) 分布面積と層厚 から算出 (溶岩) | *3 | ○ | — | — | — | | |
| | | 鏡池マール群 | — | 降下火砕物 (類質) | 4.3~5.6ka | 層序 | *1 | ● 不明 | — | — | — | — | — | — | — | |
| | | 池田湖テフラ (池田湖火山灰、山川火砕 サージ堆積物、池底溶岩マ ール堆積物、池田火砕流堆積 物、池田降下軽石、尾下スコ リア、池嶋火山灰) | 安山岩~ 流紋岩 | 水蒸気爆発、プリニー式噴火: 火砕流 (一部溶結)、火砕サー ジ、降下火砕物 | 5640±30yBP 6465±6403cal yBP 6.4cal ka 5750±30yBP | 14C年代 14C年代 引用 (14C年代) 14C年代 | *5 *5 *2 *7 | ◎ 0.92 ◎ 3.57 ◎ 2-3 | 引用 (DB) GIS算出体積 根拠未記載 | DB *14 *12 | △ ○ △ | — | — | — | — | |
| | | 仙田溶岩 | デイサイト | 溶岩流 | 池田火山初期 | 層序、植物適合 | *1 | ▲ 不明 | — | — | — | — | — | — | — | |
| | | 岩本火山灰 | — | 降下火山灰 | 19cal ka | 均等分配 | *2 | ▲ 不明 | — | — | — | — | — | — | — | |
| | | 上野溶岩 | デイサイト | 溶岩流 | 池底溶岩と同時期 | 構成の類似、層序 | *1 | ▲ 不明 | — | — | — | — | — | — | — | |
| | | 鯉尾岳溶岩ドーム | デイサイト | 溶岩ドーム | 30~50ka | 層序 | *1 | ▲ 不明 | — | — | — | — | — | — | — | |
| | | 水迫テフラ | — | 降下火山灰 (池底or清見岳に對比) | 83ka (清見テフラ)以降 | 層序 | *1 | ▲ 不明 | — | — | — | — | — | — | — | |
| | | 池底溶岩 | 流紋岩 | 溶岩流 | 30~50ka | 層序 | *1 | ▲ 不明 | — | — | — | — | — | — | — | |
| 清見岳溶岩ドーム | デイサイト | 溶岩ドーム | 53ka以降 | 層序 | *1 | ▲ 不明 | — | — | — | — | — | — | — | | | |
| 唐山スコリア丘 清見テフラ (1-5) | 玄武岩安山岩 | 降下火砕物 (一部溶結) | 53ka | 引用 (層序) | *1 | ● 7.4 10 | 引用 (早川法) 根拠未記載 | *1 *12 | △ △ | — | — | — | — | | | |
| 辻之岳・久世岳溶岩ドーム | デイサイト ~流紋岩 | 溶岩ドーム | 新期 | 層序 (権現山を覆う) | *1 | ▲ 不明 | — | — | — | — | — | — | — | | | |
| 竹山溶岩 | デイサイト | 溶岩流 | 26ka (若すぎる) 60±30ka | 引用 (FT年代) 引用 (FT年代) | *1 *1 | △ 不明 ◎ | — | — | — | — | — | — | — | | | |
| 花之木テフラ | — | 降下火砕物 | 75ka | 引用 (層序: 溶岩との 層序不明) | *1 | ▲ 不明 | — | — | — | — | — | — | — | | | |
| 権現山成層火山体 | 安山岩~ デイサイト | 溶岩流、火砕岩 | 105 (Ata)~70- 50 (K-Tz, 花之木テ フラ)ka | 層序 | *1 | ▲ 不明 | — | — | — | — | — | — | — | | | |
| 権元火砕岩類 | — | 凝灰岩 | 新期 | 引用 (層序) | *1 | ▲ 不明 | — | — | — | — | — | — | — | | | |
| 山川湾溶岩 | 安山岩 | 溶岩流 | 後期更新世 (2.7ka: 若すぎる) | 層序 (FT年代) | *1 | ▲ 不明 | — | — | — | — | — | — | — | | | |
| 阿多火山 | 令和泉火砕流堆積物 | デイサイト | 火砕流 | 100ka | 引用 (Ata±K-Tzの間) | *1 | ● 2 | 根拠未記載 | ※1 | △ | — | — | — | — | | |
| | 田代噴火 ¹²⁾ (阿多噴火 ¹²⁾) | — | 火砕流 | 80ka | 引用 | *12 | △ 1.5 ^{※1)} | 根拠未記載 | *12 | △ | — | — | — | — | | |
| | 竹ノ浦降下火山灰 阿多火砕流 大内山火砕サージ 佐多降下軽石 伊達降下火山灰 阿多降下軽石 都降下火山灰 | デイサイト | (マグマ) 水蒸気噴火、プリ ニー式噴火: 火砕流 (溶結), 降下火砕物 | 103~107ka 100±27ka 108±3ka 105ka | 層序 引用 (FT年代) 引用 (K-Ar年代) 引用 (層序: FT, K-Ar) | *1 *1 *1 *11 | ● >200 (gT1) ◎ 50-100 (gF) ◎ 8.53 ◎ 3.33 ◎ 662.25 | 引用 GIS算出体積 (伊達) GIS算出体積 (伊達) GIS算出体積 (伊達) | *11 *14 *14 *14 | △ △ △ △ | — | — | — | — | | |

第30-2表(1) 続き

| 中期 指宿火山群 | 大野岳火山 | 玄武岩 | 溶岩流、降下火砕物 | 阿多火砕流より下位 | 層序 | *1 ▲ | 0.2 | 0.58 ※1 | 根拠未記載 | *8 △ | |
|-------------|---|---------------|--------------------------|---|--|----------------------|-------------------------|-------------------------|----------------------|----------------|---|
| | 飯屋溶岩 | 安山岩 | 溶岩流 | 第四紀 | 変質程度 | *1 ▲ | 不明 | — | — | — | |
| | 赤水岳火山 | デイサイト | 降下火砕物、火砕岩(溶結) | 後期更新世 | 層序 | *1 ▲ | 不明 | — | — | — | |
| | 長崎鼻溶岩 | デイサイト | 溶岩流、凝灰角礫岩 | 後期更新世 | 層序 | *1 ▲ | 不明 | — | — | — | |
| | 魚見岳火山 | 安山岩～ デイサイト | 溶岩流、溶結凝灰岩、 降下スコリア、火砕岩 | 阿多火砕流より下位 (30ka:若すぎる) | 層序 (FT年代) | *1 ▲ | >0.1 | 3.5 ※1 | 根拠未記載 | *8 △ | |
| 阿多火山 | 矢越噴火 ^{*12} | — | 降下軽石 | 不明 | — | — | 不明 | — | — | — | |
| | 丸峯噴火 ^{*12} | — | 降下軽石 | 90ka | 引用 | *12 △ | 2 ^{※1} 8.54 | 根拠未記載 GIS算出体積 | *12 △ *14 ○ | — | |
| | 馬渡噴火 ^{*12} | — | 火砕サージ | 不明 | — | — | 不明 | — | — | — | |
| | 塩屋噴火 ^{*12} | — | 降下軽石 | 100ka ^{※2} | 根拠未記載 | *12 △ | 2 ^{※2} | 根拠未記載 | *12 △ | — | |
| | 御領噴火 ^{*12} | — | 火砕流 | 不明 | — | — | 不明 | — | — | — | |
| | 上之宇都噴火 ^{*12} | — | 降下軽石 | 110ka ^{※2} | 根拠未記載 | *12 △ | 2 ^{※2} | 根拠未記載 | *12 △ | — | |
| | 阿多-馬浜テフラ 阿多-馬浜火砕流 | 流紋岩 | 降下火砕物、火砕流 | 240ka(溶岩との層 序不明) | 引用(FT年代、層序) | *11 ○ | 100 オクダ 4.84 | pFl 14 ^{※3} | 分布、粒度から推定 GIS算出体積 | *11 △ *14 ○ | — |
| 古期 指宿火山群 | 山川層(山川噴火? ^{*13}) | 安山岩 | 溶岩流、(溶結)凝灰岩、 (降下火砕物?) | 前期更新世以降 | 層序、古生物 | *1 ▲ | 不明 | — | — | — | |
| | 小浜溶岩 | 安山岩 | 溶岩流 | 0.8±0.6Ma 0.21±0.02Ma 0.18±0.02Ma | 引用(K-Ar年代) 引用(K-Ar年代) 引用(K-Ar年代) | *1 ◎ *1 ▲ *1 △ | >0.2 | 根拠未記載 | *8 △ | — | |
| | 狩集溶岩 | 安山岩 | 溶岩流 | 古期 | 岩相、変質度合 | *1 ▲ | 不明 | — | — | — | |
| | 入野溶岩 | 安山岩 | 溶岩流 | 古期 | 岩相、変質度合 | *1 ▲ | 不明 | — | — | — | |
| | 矢管岳火山 | 安山岩～ デイサイト | 成層火山体 | 1.1±0.1Ma | 引用(FT年代) | *1 ◎ | 不明 | — | — | — | |
| | 鬼口溶岩 | デイサイト | 溶岩流、火砕岩 | 1.1Ma | 矢管岳と類似、 矢管岳に被覆 | *1 ▲ | 不明 | — | — | — | |
| | 高江山溶岩 | デイサイト | 溶岩流 | 1.1Ma | 矢管岳と類似 | *1 ▲ | 不明 | — | — | — | |
| | 野里安山岩 ^{*13} 、横尾岳 ^{※1} | 安山岩 | 溶岩流 | 1.40±0.07Ma 1.44±0.07Ma | K-Ar年代 | *11 ○ | 不明 | 6.5 ※1 | — | — | — |

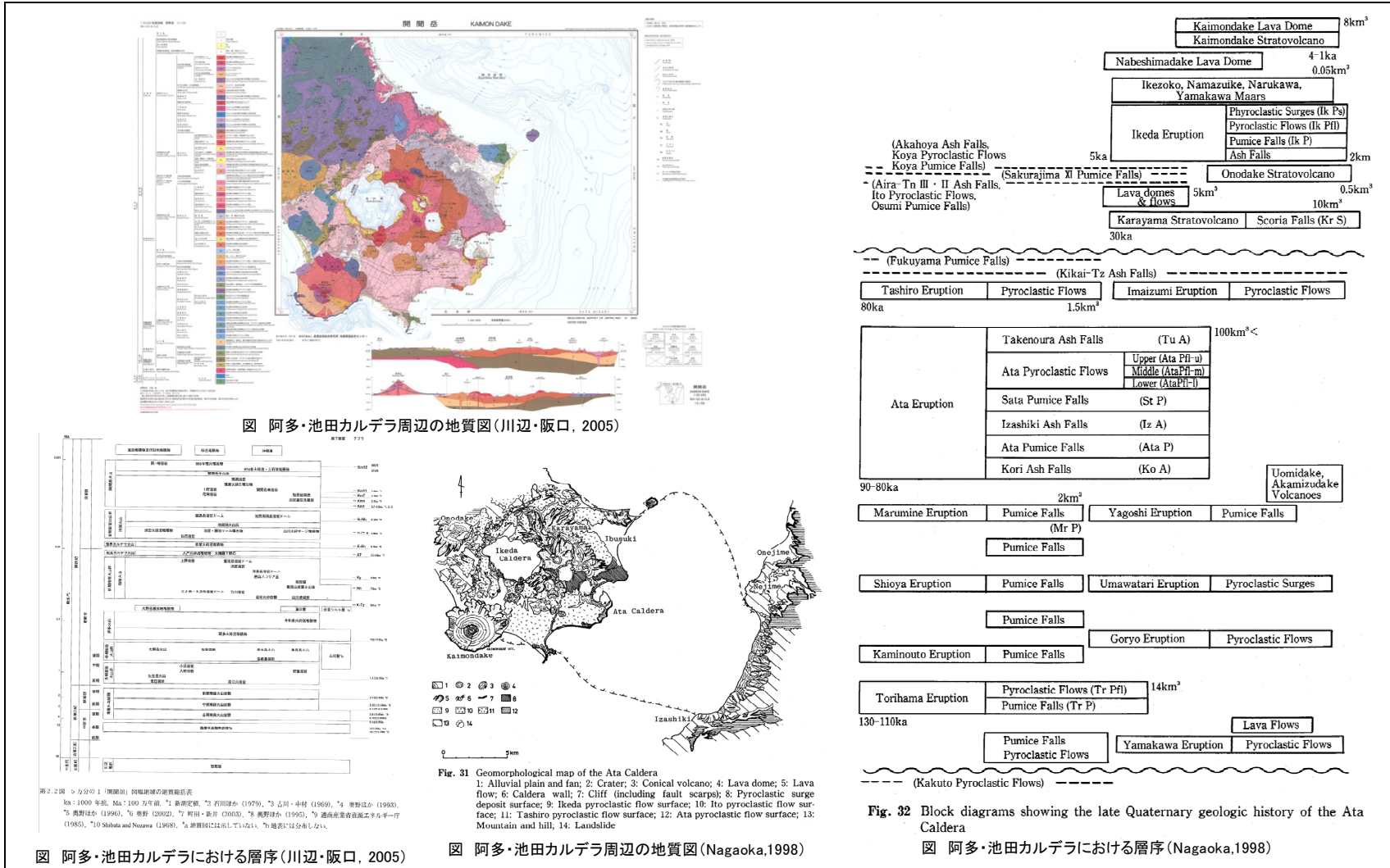
※1: 第四紀火山カテゴリー委員会編(1999)を引用
※2: 文献中の階段図等から読み取った値
注) DREに換算されている場合は斜体で表記した
・放射年代: ◎: 査読付論文、○: 講演要旨等
△: 層序と矛盾、試料・測定に疑問、根拠未記載
※3: 文献中の階段図等から読み取った値
●: 上下層が放射年代で規定、▲: 上下層が未規定
・古文書解折、近代観測、◎

信頼度
◎>○>△

引用文献
*1: 川辺禎久、阪口圭一(2005): 開聞岳地域の地質、地域地質研究報告、5万分の1地質図幅、82p.
*2: 奥野 充(2002): 南九州に分布する最近約3万年間のテフラの年代学的研究、第四紀研究、44、4、pp.225-236.
*3: 奥野 充、小林哲夫(1991): 鍋島岳火山の地質、鹿児島大学理学部紀要、24、pp.23-35.
*4: 奥野 充、小林哲夫、中村俊夫(1993): 南九州、鍋島岳テフラ層中の炭化木片の加速器140年代、火山、38、2、pp.91-94.
*5: 奥野 充、成尾英仁、中村俊夫、小林哲夫(1996): 南九州、池田湖テフラ層に関連する試料の加速器140年代、名古屋大学古川総合研究資料館報告書、12、pp.49-55.
*6: 奥野 充、前垣内勇作、高島 勲、中村俊夫、稲永康平、小林哲夫(2005): 放射性炭素および熱ルミネセンス年代測定による鍋島岳火山の噴火年代の検討、福岡大学理学集報、35、1、pp.41-48.
*7: 成尾英仁、小林哲夫(1984): 池田カルデラ形成時の降下堆積物、日本火山学会講演予稿集、148p.
*8: 川辺禎久、阪口圭一(2003): 開聞岳図幅地域の地質、日本火山学会講演予稿集、PA33.
*9: 片平 要、奥野 充(2010): 開聞岳火山西～南麓の海食崖での火山灰層序と140年代、日本火山学会講演予稿集、P47.
*10: 藤野直樹、小林哲夫(1997): 開聞岳火山の噴火史、火山、42、3、pp.195-211.
*11: 町田 洋、新井勇夫 編(2011): 新編火山灰アトラス-日本列島とその周辺、東京大学書店、336p.
*12: Nagaoka, S.(1988): The late quaternary tephra layers from the caldera volcanoes in and around Kagoshima bay, southern Kyushu, Japan. Geographical Reports of Tokyo Metropolitan University, 23, pp.49-122.
*13: 太田良平、河内洋佑(1965): 5万分の1地質図幅説明書 鹿屋、地質調査所、60p.
*14: 須藤 茂、猪股隆行、佐々木 寿、向山 栄(2007): わが国の降下火山灰データベース、地質調査研究報告、58、9/10、pp.261-321.

第 30-2 表 (2) 活動履歴帳票 (阿多・池田カルデラ)

30. 阿多・池田カルデラ



第 2.2 図 5/5 の 1 (開閉前) 阿多池田カルデラの地質図表
 Ra: 1000 年前, Ma: 100 万年前, * 新測定値, *2 石川球 (1979), *3 吉岡・中村 (1969), *4 奥野球 (1983), *5 奥野球 (1990), *6 奥野 (2002), *7 町田・新井 (2003), *8 奥野球 (1995), *9 通商産業省資源エネルギー庁 (1985), *10 Shibata and Nozawa (1968), *11 奥野球には示していない, *12 地質図には分布しない。

Fig. 31 Geomorphological map of the Ato Caldera
 1: Alluvial plain and fan; 2: Crater; 3: Conical volcano; 4: Lava dome; 5: Lava flow; 6: Caldera wall; 7: Cliff (including fault scarps); 8: Pyroclastic surge deposit surface; 9: Ikeda pyroclastic flow surface; 10: Ito pyroclastic flow surface; 11: Tashiro pyroclastic flow surface; 12: Ata pyroclastic flow surface; 13: Mountain and hill; 14: Landslide

Fig. 32 Block diagrams showing the late Quaternary geologic history of the Ato Caldera

図 阿多・池田カルデラにおける層序 (川辺・阪口, 2005)

図 阿多・池田カルデラ周辺の地質図 (Nagaoka, 1998)

図 阿多・池田カルデラにおける層序 (Nagaoka, 1998)

第 30-4 表 収集文献リスト (阿多・池田カルデラ)

30 阿多・池田カルデラ-1-

| No | 著者 | 発行年 | 題名 | 雑誌名 | 記載事項の有無 | | | | | | | | | | 備考 |
|------|---|------|--|---|-------------------|-------------|------|----------|--------------------------------|----|-----------|----------|-----------|--------------|------------------|
| | | | | | 噴出量- 時間 階段図 | 噴出量 (種類) | 方法 | 活動 年代 | 方法 | 層序 | 噴出物 分布 | 噴火 様式 | マグマ 特性 | その他 | |
| 30-a | 宇井忠英 | 1977 | 阿多火砕流堆積物の14C年代 | 火山 | × | × | - | ○ | A (¹⁴ C) | ○ | × | × | × | - | 以下、阿多カルデラ |
| 30-b | 宇井忠英 | 1980 | 阿多火砕流堆積物の噴火年代 | 火山 | × | × | - | ○ | A, D (¹⁴ C) | ○ | × | × | × | - | |
| 30-c | 奥野 充, 小林哲夫 | 1994 | 種子島に分布する講師更新世テフラ | 第四紀研究 | × | × | - | ○ | B, D | ○ | ○ | × | × | - | |
| 30-d | Okuno, M., Nakamura, T. Amd Kobayashi, T. | 1998 | AMS 14C dating of historic eruptions of the Kirishima, Sakurajima and Kaimondake volcanoes, southern Kusu, Japan | Radiocarbon | × | × | - | ○ | A (¹⁴ C) | ○ | × | × | × | - | |
| 30-e | 荒牧重雄, 宇井忠英 | 1965 | 阿多火砕流と阿多カルデラ | 地質学雑誌 | × | ○ | c | ○ | D | ○ | ○ | ○ | × | - | |
| 30-f | 松本哲一, 宇井忠英 | 1997 | 阿多火砕流堆積物のK-Ar年代 | 火山 | × | ○ | c | ○ | A, D (K-Ar) | ○ | × | × | × | - | |
| 30-g | 太田良平, 河内洋佑 | 1965 | 5万分の1地質図幅説明書 鹿屋. | 5万分の1地質図幅 | × | × | - | ○ | D | ○ | ○ | × | ○ | - | |
| 30-h | Nagaoka, S. | 1988 | The late quaternary tephra layers from the caldera volcanoes in and around Kagoshima bay, southern Kyushu, Japan | Geographical Reports of Tokyo Metropolitan University | ◎ (●) | ○ | c | ○ | D | ○ | ○ | ○ | × | - | |
| 30-i | 鈴木桂子, 宇井忠英 | 1979 | 阿多火砕流堆積物の14C年代C年代 (その2) | 火山 | × | × | - | × | A (¹⁴ C) | ○ | × | × | × | - | |
| 30-j | 須藤 茂, 猪股隆行, 佐々木 寿, 向山 栄 | 2007 | わが国の降下火山灰データベース作成 | 地質調査研究報告 | × | ○ | d | ○ | D | × | ○ | × | × | 分布を引用しGISで算出 | |
| 30-k | 福倉寛仁, 中川光弘, 小林哲夫 | 1999 | 池田カルデラ形成時のマグマ系-複数のマグマ溜りの存在とその噴火- | 日本地球惑星科学連合講演要旨集 | × | × | - | × | - | ○ | × | × | ○ | - | 以下、阿多カルデラ除く指宿火山群 |
| 30-l | 宇井忠英 | 1967 | 鹿児島県指宿地域の地質 | 地質学雑誌 | × | ○ | a, b | ○ | D | ○ | ○ | ○ | × | - | |
| 30-m | 奥野 充 | 2002 | 南九州に分布する最近約3万年間のテフラの年代学的研究 | 第四紀研究 | × | × | - | ○ | A, D (¹⁴ C) | ○ | ○ | × | × | - | |
| 30-n | 奥野 充, 小林哲夫 | 1991 | 鍋島岳火山の地質 | 鹿児島大学理学部紀要 | × | ○ | a | ○ | D, F | ○ | ○ | ○ | × | - | |
| 30-o | 奥野 充, 小林哲夫, 中村俊夫 | 1993 | 南九州, 鍋島岳テフラ層中の炭化木片の加速器14C年代 | 火山 | × | ○ | c | ○ | A, D (K-Ar) | ○ | ○ | × | × | - | |
| 30-p | 奥野 充, 成尾英仁, 小林哲夫 | 1993 | 阿多カルデラの95ka~22ka間の爆発的噴火 | 日本地理学会講演要旨集 | × | ○ | a | ○ | F | ○ | ○ | × | × | - | |
| 30-q | 奥野 充, 成尾英仁, 新井房夫, 小林哲夫 | 1995 | 大隅半島南部に分布する後期更新世テフラ | 鹿児島大学理学部紀要 | × | ○ | a | ○ | B, D | ○ | ○ | × | × | - | |
| 30-r | 奥野 充, 成尾英仁, 中村俊夫, 小林哲夫 | 1996 | 南九州, 池田湖テフラ層に関連する試料の加速器14C年代 | 名古屋大学古川総合研究資料館報告 | × | × | - | ○ | A, D (¹⁴ C) | ○ | × | × | × | - | |
| 30-s | 奥野 充, 前垣内秀作, 高島 勲, 中村俊夫, 指永康平, 小林哲夫 | 2005 | 放射性炭素および熱ルミネッセンス年代測定による鍋島岳火山の噴火年代の検討 | 福岡大学理学集報 | × | × | - | ○ | A, D (¹⁴ C, TL) | ○ | × | × | × | - | |
| 30-t | 小林哲夫, 成尾英仁 | 1982 | 鹿児島県指宿地域の火山活動とカルデラ地形 | 日本火山学会講演要旨集 | × | × | - | × | - | ○ | × | ○ | × | - | |
| 30-u | 成尾英仁 | 2001 | 鹿児島県指宿市水迫遺跡のテフラとそれに関連したイベント | 鹿児島県立博物館報告 | × | × | - | ○ | F | ○ | × | × | × | - | |
| 30-v | 成尾英仁, 小林哲夫 | 1980 | 池田カルデラの火山活動史 | 日本火山学会講演要旨集 | × | × | - | × | - | ○ | × | ○ | × | - | |
| 30-w | 成尾英仁, 小林哲夫 | 1984 | 池田カルデラ形成時の降下火砕物 | 日本火山学会講演要旨集 | × | × | - | ○ | F | ○ | × | ○ | × | - | |
| 30-x | 石川秀雄, 有村兼誠, 大木公彦, 丸野繪敬 | 1979 | 阿多火砕流および開聞岳火山灰層の14C年代 | 地質学雑誌 | × | × | - | ○ | A (¹⁴ C) | ○ | × | × | × | - | |
| 30-y | 川辺祐久, 阪口圭一 | 2003 | 5万分の1地質図幅「開聞岳」-特に阿多火砕流以降の指宿火山群の活動について- | 日本火山学会講演要旨集 | × | ○ | c, e | ○ | D, F | ○ | × | ○ | × | - | |
| 30-z | 川辺祐久, 阪口圭一 | 2004 | 5万分の1地質図幅「開聞岳」-特に阿多火砕流以降の指宿火山群の活動について- | 日本地質学会講演要旨集 | × | ○ | c | ○ | D | ○ | × | ○ | ○ | - | |

◎:記載あり(数良) a:地質調査
○:記載あり b:地質図等
(噴出量の対象) c:引用
●:降下火砕物 d:その他
■:溶岩流 e:不明
▲:山体一括)

A:放射年代
B:層序
C:古文書記載
D:引用
E:その他
F:不明

第30-4表 続き

30 阿多・池田カルデラ-2-

| No | 著者 | 発行年 | 題名 | 雑誌名 | 記載事項の有無 | | | | | | | | | | 備考 | |
|------|------------|------|---|------------------------|-------------------|-------------|------|----------|-------------------------|----|-----------|----------|-----------|-----|----|-----------------|
| | | | | | 噴出量- 時間 階段図 | 噴出量 (体積) | 方法 | 活動 年代 | 方法 | 層序 | 噴出物 分布 | 噴火 様式 | マグマ 特性 | その他 | | |
| 30-A | 川辺禎久, 阪口圭一 | 2005 | 開聞岳地域の地質 | 地域地質研究報告書 5万分の1地質図幅 | × | ○ | c | ○ | D | ○ | ○ | ○ | ○ | ○ | - | |
| 30-B | 中村真人 | 1967 | 開聞岳の火山噴出物と火山活動史-とくに噴出物の量と火山活動史- | 火山 | ◎ (●, ■) | ○ | a | ○ | B, C | ○ | ○ | ○ | × | - | - | 熱エネルギー 時間階段図 |
| 30-C | 藤野直樹, 小林哲夫 | 1997 | 開聞岳火山の噴火史 | 火山 | ◎ (●, ■) | ○ | a | ○ | C, D | ○ | ○ | ○ | × | - | - | 噴出量-時間 変化図 |
| 30-D | 片平 要, 奥野 充 | 2010 | 開聞岳火山西~南麓の海食崖での火山灰層序と ¹⁴ C年代 | 日本火山学会 講演予稿集 | × | × | - | ○ | A (¹⁴ C) | ○ | × | × | × | - | - | |
| 30-E | 気象庁 編 | 2013 | 91. 池田・山川 | 日本活火山総覧 (第4版) | × | ○ | c | ○ | D | ○ | × | ○ | × | - | - | |
| 30-F | 気象庁 編 | 2013 | 92. 開聞岳 | 日本活火山総覧 (第4版) | × | ○ | c | ○ | D | ○ | × | ○ | × | - | - | 近代観測 |
| 30-G | 町田 洋, 新井朋夫 | 2011 | 新編 火山灰アトラス 日本列島とその周辺 | 東京大学出版会 | × | ○ | a, c | ○ | A, B, C, D | ○ | ○ | ○ | ○ | - | - | |
| 30-H | | | | | | | | | | | | | | | | |
| 30-I | | | | | | | | | | | | | | | | |
| 30-J | | | | | | | | | | | | | | | | |
| 30-K | | | | | | | | | | | | | | | | |
| 30-L | | | | | | | | | | | | | | | | |
| 30-M | | | | | | | | | | | | | | | | |
| 30-N | | | | | | | | | | | | | | | | |
| 30-O | | | | | | | | | | | | | | | | |
| 30-P | | | | | | | | | | | | | | | | |
| 30-Q | | | | | | | | | | | | | | | | |
| 30-R | | | | | | | | | | | | | | | | |
| 30-S | | | | | | | | | | | | | | | | |
| 30-T | | | | | | | | | | | | | | | | |
| 30-U | | | | | | | | | | | | | | | | |
| 30-V | | | | | | | | | | | | | | | | |
| 30-W | | | | | | | | | | | | | | | | |
| 30-X | | | | | | | | | | | | | | | | |
| 30-Y | | | | | | | | | | | | | | | | |
| 30-Z | | | | | | | | | | | | | | | | |

◎: 記載あり(数良)
○: 記載あり
(噴出量の対象)
●: 降下火砕物
■: 溶岩流
▲: 山体一括

a: 地質調査
b: 地質図等
c: 引用
d: その他
e: 不明

A: 放射年代
B: 層序
C: 古文書記載
D: 引用
E: その他
F: 不明